

功能函数 \mathcal{F}_{cot} .

输入:

--S 输入 $y_0, y_1 \in \{0, 1\}^n$.

--R 输入 (j, τ) , 其中 $j \in \{0, 1\}$ 为 cut-and-choose 指示比特, $\tau \in \{0, 1\}$ 为 R 的选择比特.

输出:

--S 输出 \perp .

--R 输出 z :

当 $j=1$ 时, z 为 (y_0, y_1) ;

当 $j=0$ 时, z 为 y_τ .

1.3 同态加密方案

记某公钥加密方案为 $M=(Gen, Enc, Dec)$, 其中 Gen 表示密钥生成算法, Enc 表示加密算法, Dec 表示解密算法. 将使用公钥 pk 对明文 m 的加密记为 $Enc_{pk}(m)$. 直观上, 给定两个密文 $c_1=Enc_{pk}(m_1)$ 和 $c_2=Enc_{pk}(m_2)$, 若在不知道对应私钥和明文的前提下可以高效计算 $c_1 \cdot c_2$ 满足 $c_1 \cdot c_2=Enc_{pk}(m_1+m_2)$, 则称该公钥加密方案具有加法同态性. 这里要求计算 $c_1 \cdot c_2$ 的结果是对 m_1+m_2 的一次随机加密. 正式地, 有如下定义:

定义 1(加法同态加密). 对于一个公钥加密方案 $M=(Gen, Enc, Dec)$, 如果对于任意的 n , 任意 $Gen(1^n)$ 的输出 (pk, sk) , 满足:

$$\{pk, c_1=Enc_{pk}(m_1), c_1 \cdot Enc_{pk}(m_2)\} \cong \{pk, Enc_{pk}(m_1), Enc_{pk}(m_1+m_2)\},$$

其中, 等号 \cong 表示计算不可区分, 则 M 是一个加法同态加密方案.

1.4 安全性定义

不经意传输作为一类具体的安全两方计算问题, 其安全性可由安全两方计算的标准安全模型来定义. 本文使用半诚实模型下的安全性定义^[14]来刻画所构造的 cut-and-choose 双向不经意传输协议的安全性.

定义 2(半诚实模型下的安全性). 令 $f(\cdot, \cdot)=(f_1, f_2)$ 为任意 $\{0, 1\}^* \times \{0, 1\}^* \rightarrow \{0, 1\}^* \times \{0, 1\}^*$ 多项式时间功能函数, π 为一个计算 $f(\cdot, \cdot)$ 的两方协议. 给定输入 (x, y) (参与方 P_1 的输入为 x , P_2 的输入为 y) 和安全参数 n , $P_i (i \in \{1, 2\})$ 在协议 π 中的视图记为 $view_i^\pi(x, y, n)=(w, r^j, m_1^j, \dots, m_t^j)$, 其中, $w \in \{x, y\}$, r^j 为 P_i 的内部随机带, m_j^j 为 P_i 接收到的第 j 条消息; P_i 的输出记为 $output_i^\pi(x, y, n)$. 另外, 记双方的联合输出为 $output^\pi(x, y, n)=(output_1^\pi(x, y, n), output_2^\pi(x, y, n))$.

如果下列条件满足, 则协议 π 在半诚实模型下安全计算功能函数 $f(\cdot, \cdot)$.

首先, 要求满足正确性, 即满足:

$$\{output^\pi(x, y, n)\}_{x, y, n} \cong \{f(x, y)\}_{x, y}.$$

其次, 要求存在概率多项式时间算法 \mathcal{S}_1 和 \mathcal{S}_2 , 满足:

$$\{\mathcal{S}_1(1^n, x, f_1(x, y))\}_{x, y, n} \cong \{view_1^\pi(x, y, n)\}_{x, y, n},$$

$$\{\mathcal{S}_2(1^n, y, f_2(x, y))\}_{x, y, n} \cong \{view_2^\pi(x, y, n)\}_{x, y, n},$$

其中, $x, y \in \{0, 1\}^*$, 满足 $|x|=|y|$, $n \in \mathbf{N}$.

2 Cut-and-Choose 双向不经意传输

这一节首先介绍并形式化定义 cut-and-choose 双向不经意传输功能函数, 然后基于同态加密给出其协议构造, 并形式化证明该协议满足半诚实模型下的标准安全性定义(定义 2).

2.1 功能函数

我们说标准的不经意传输和 cut-and-choose 不经意传输实现的功能都是单向的. 也就是说, S 输入两个值等待 R 进行选择, 而其本身并没有主动选择权. 如果在 cut-and-choose 不经意传输的基础上, 为 S 增加两个字符串 x_0 和 x_1 , 使其能够通过一个新的选择比特 σ 对 R 接收到这两个字符串中的哪一个拥有决定权, 就构成了 cut-and-

choose 双向不经意传输.当然,增加的这两个字符串被 R 接收到 1 个还是 2 个,依然由 R 的 cut-and-choose 指示比特 j 来决定.需要注意的是,引入选择比特 σ 会带来以下问题:当 j 为 0 时, R 必须知道 x_0 和 x_1 这两个值应该获得哪一个.如果按照正常顺序 x_0, x_1 发送这两个值,则 R 可以获得 σ 的值,这与 σ 需要保密相矛盾.因此,需要引入一个置换比特 b 来对 x_0 和 x_1 的位置进行随机置换,从而达到隐藏 σ 的目的.这样, R 就可以在不知道 σ 的情况下获得 x_σ . 置换比特的引入会对接收方的输出造成影响:当 cut-and-choose 指示比特 j 为 1 时,接收方除了获得被置换位置后的两个字符串 x_b, x_{1-b} 之外,还需要拿到 b 的值,以获得正常顺序的 x_0, x_1 ; 当 cut-and-choose 指示比特 j 为 0 时,接收方除了获得由发送方指定应该获得的 x_σ 之外,实际上也获得了 x_σ 的位置信息 $\sigma \oplus b$, 即当获得 x_b, x_{1-b} 中的第 1 个时,说明 $\sigma \oplus b$ 为 0, 反之则说明 $\sigma \oplus b$ 为 1. 该功能可以由下面的功能函数 \mathcal{F}_{cbot} 给出.

功能函数 \mathcal{F}_{cbot} .

输入:

--S 输入 $(x_0, x_1, y_0, y_1, b, \sigma)$, 其中 $x_0, x_1, y_0, y_1 \in \{0, 1\}^n$, $b \in \{0, 1\}$ 为置换比特, $\sigma \in \{0, 1\}$ 为 S 的选择比特.

--R 输入 (j, τ) , 其中 $j \in \{0, 1\}$ 为 cut-and-choose 指示比特, $\tau \in \{0, 1\}$ 为 R 的选择比特.

输出:

--S 输出 \perp .

--R 输出 z :

当 $j=1$ 时, z 为 $(x_b, x_{1-b}, 1-b, y_0, y_1)$;

当 $j=0$ 时, z 为 $(x_\sigma, y_\tau, \sigma \oplus b)$, 其中 $\sigma \oplus b$ 指示 x_σ 的位置信息.

2.2 协议构造

Cut-and-choose 双向不经意传输可以基于同态加密构造.主要思想是利用加密方案的同态性,将接收方 cut-and-choose 指示比特的密文与发送方的输入进行特定运算.具体构造请见协议 1.

协议 1. Cut-and-Choose 双向不经意传输协议.

输入:发送方 S 输入 $(x_0, x_1, y_0, y_1, b, \sigma)$;接收方 R 输入 (j, τ) .

辅助输入:安全参数 1^n ;满足定义 1 的选择明文攻击(CPA)安全的加法同态加密方案 $M=(Gen, Enc, Dec)$.

协议过程:

步骤 1. R 将 τ 编码为两个比特 $\tau_0 \tau_1$, 其中 $\tau_\tau=1, \tau_{1-\tau}=0$. 具体来说,如果 $\tau=1$, 则编码为 $\tau_0 \tau_1=01$; 如果 $\tau=0$, 则编码为 $\tau_0 \tau_1=10$. 另外, R 将 j 编码为两个比特 $j_0 j_1=j_0$. 然后, R 生成一组密钥 $(pk, sk) \leftarrow Gen(1^n)$, 公开公钥 pk , 并用 pk 对 $(j_0 j_{\tau_0} + \tau_0 j_{\tau_1} + \tau_1)$ 进行加密, 将加密后得到的密文三元组 $(Enc_{pk}(j_0), Enc_{pk}(j_{\tau_0} + \tau_0), Enc_{pk}(j_{\tau_1} + \tau_1))$ 发送给 S .

步骤 2. S 将 σ 编码为两个比特 $\sigma_0 \sigma_1$, 其中 $\sigma_\sigma=1, \sigma_{1-\sigma}=0$. 具体来说,如果 $\sigma=1$, 则编码为 $\sigma_0 \sigma_1=01$; 如果 $\sigma=0$, 则编码为 $\sigma_0 \sigma_1=10$. 然后, S 利用 R 的公钥 pk 计算 $(Enc_{pk}(j_1), Enc_{pk}(\sigma_0), Enc_{pk}(\sigma_1), Enc_{pk}(b))$, 并计算密文五元组:

$$\begin{aligned} w_b &= (Enc_{pk}(j_{\sigma_b}) \cdot Enc_{pk}(\sigma_b))^{x_b}, \\ w_{1-b} &= (Enc_{pk}(j_{\sigma_{1-b}}) \cdot Enc_{pk}(\sigma_{1-b}))^{x_{1-b}}, \\ w_2 &= (Enc_{pk}(j_b) \cdot Enc_{pk}(b))^{1-b}, \\ w_3 &= (Enc_{pk}(j_{\tau_0} + \tau_0))^{y_0}, \\ w_4 &= (Enc_{pk}(j_{\tau_1} + \tau_1))^{y_1}. \end{aligned}$$

计算完成后,将密文五元组 $(w_b, w_{1-b}, w_2, w_3, w_4)$ 发送给 R .

步骤 3. R 用私钥 sk 对接收到的密文五元组进行解密, 得到明文五元组 $(u_b, u_{1-b}, u_2, u_3, u_4)$:

- 当 $j=1$ 时, 令 $(u_b, u_{1-b}, u_2, u_3, u_4) = (x_b, x_{1-b}, 1-b, y_0, y_1)$;
- 当 $j=0$ 时, 忽略 u_2 的值, 令 u_b, u_{1-b} 中不为 0 的值为 x_σ , 即 u_b, u_{1-b} 中的第 $\sigma \oplus b + 1$ 个; 令 u_3, u_4 中的第 $\tau + 1$ 个为 y_τ , 得到输出 $(x_\sigma, y_\tau, \sigma \oplus b)$.

2.3 安全性证明

定理 1. 假定 $M=(Gen,Enc,Dec)$ 是一个满足定义 1 的 CPA 安全的加法同态加密方案,则协议 1 在定义 2 下安全计算功能函数 \mathcal{F}_{ccbot} .

证明:令 \mathcal{F}_{ccbot} 为 cut-and-choose 双向不经意传输功能函数, π 为计算 \mathcal{F}_{ccbot} 的协议 1,根据定义 2,如果下列条件满足,我们就说协议 π 在半诚实模型下安全计算 \mathcal{F}_{ccbot} .

首先满足正确性,即

$$\{output^\pi((x_0,x_1,y_0,y_1,b,\sigma),(j,\tau),n)\}_{x_0,x_1,y_0,y_1,b,\sigma,j,\tau,n} \cong \{\mathcal{F}_{ccbot}((x_0,x_1,y_0,y_1,b,\sigma),(j,\tau))\}_{x_0,x_1,y_0,y_1,b,\sigma,j,\tau,n}$$

其次,存在概率多项式时间算法 \mathcal{S}_1 和 \mathcal{S}_2 满足:

$$\{\mathcal{S}_1(1^n,(x_0,x_1,y_0,y_1,b,\sigma))\}_{x_0,x_1,y_0,y_1,b,\sigma,n} \cong \{view_1^\pi((x_0,x_1,y_0,y_1,b,\sigma),(j,\tau),n)\}_{x_0,x_1,y_0,y_1,b,\sigma,j,\tau,n} \quad (1)$$

$$\{\mathcal{S}_2(1^n,(j,\tau,z))\}_{j,\tau,z,n} \cong \{view_2^\pi((x_0,x_1,y_0,y_1,b,\sigma),(j,\tau),n)\}_{x_0,x_1,y_0,y_1,b,\sigma,j,\tau,n} \quad (2)$$

其中 $x_0,x_1,y_0,y_1 \in \{0,1\}^n, z \in \{0,1\}^*, b,\sigma,j,\tau \in \{0,1\}, n \in \mathbf{N}$.

下面我们对协议 1 的安全性给出形式化证明.

首先,根据 cut-and-choose 指示比特 j 的取值分两种情况对协议 1 的正确性进行证明.

情况 1) 当 $j=1$ 时, $\mathcal{F}_{ccbot}((x_0,x_1,y_0,y_1,b,\sigma),(j,\tau))$ 的输出为 $(x_b,x_{1-b},1-b,y_0,y_1)$,我们证明在此情况下,协议 1 的输出也是如此.

在协议 1 中,当 $j=1$ 时 $j_0=1,j_1=0$,有 $j_b+b=1, b \in \{0,1\}$,所以,

$$\begin{aligned} w_b &= (Enc_{pk}(j_{\sigma_b}) \cdot Enc_{pk}(\sigma_b))^{x_b} = Enc_{pk}(x_b \cdot (j_{\sigma_b} + \sigma_b)) = Enc_{pk}(x_b), \\ w_{1-b} &= (Enc_{pk}(j_{\sigma_{1-b}}) \cdot Enc_{pk}(\sigma_{1-b}))^{x_{1-b}} = Enc_{pk}(x_{1-b} \cdot (j_{\sigma_{1-b}} + \sigma_{1-b})) = Enc_{pk}(x_{1-b}), \\ w_2 &= (Enc_{pk}(j_b) \cdot Enc_{pk}(b))^{1-b} = Enc_{pk}((1-b) \cdot (j_b + b)) = Enc_{pk}(1-b), \\ w_3 &= (Enc_{pk}(j_{\tau_0} + \tau_0))^{y_0} = Enc_{pk}(y_0 \cdot (j_{\tau_0} + \tau_0)) = Enc_{pk}(y_0), \\ w_4 &= (Enc_{pk}(j_{\tau_1} + \tau_1))^{y_1} = Enc_{pk}(y_1 \cdot (j_{\tau_1} + \tau_1)) = Enc_{pk}(y_1). \end{aligned}$$

这样,对 $(w_b, w_{1-b}, w_2, w_3, w_4)$ 解密得到的明文为 $(x_b, x_{1-b}, 1-b, y_0, y_1)$.

因此,当 $j=1$ 时,协议 1 的输出为 $(x_b, x_{1-b}, 1-b, y_0, y_1)$,满足正确性要求.

情况 2) 当 $j=0$ 时, $\mathcal{F}_{ccbot}((x_0,x_1,y_0,y_1,b,\sigma),(j,\tau))$ 的输出为 $(x_{\sigma}, y_{\tau}, \sigma \oplus b)$,我们证明在此情况下,协议 1 的输出也是如此.

在协议 1 中,当 $j=0$ 时 $j_0=0,j_1=0$,有 $j_b+b=b, b \in \{0,1\}$,所以,

$$\begin{aligned} w_b &= (Enc_{pk}(j_{\sigma_b}) \cdot Enc_{pk}(\sigma_b))^{x_b} = Enc_{pk}(x_b \cdot (j_{\sigma_b} + \sigma_b)) = Enc_{pk}(x_b \cdot \sigma_b), \\ w_{1-b} &= (Enc_{pk}(j_{\sigma_{1-b}}) \cdot Enc_{pk}(\sigma_{1-b}))^{x_{1-b}} = Enc_{pk}(x_{1-b} \cdot (j_{\sigma_{1-b}} + \sigma_{1-b})) = Enc_{pk}(x_{1-b} \cdot \sigma_{1-b}), \\ w_2 &= (Enc_{pk}(j_b) \cdot Enc_{pk}(b))^{1-b} = Enc_{pk}((1-b) \cdot (j_b + b)) = Enc_{pk}((1-b) \cdot b) = Enc_{pk}(0), \\ w_3 &= (Enc_{pk}(j_{\tau_0} + \tau_0))^{y_0} = Enc_{pk}(y_0 \cdot (j_{\tau_0} + \tau_0)) = Enc_{pk}(y_0 \cdot \tau_0), \\ w_4 &= (Enc_{pk}(j_{\tau_1} + \tau_1))^{y_1} = Enc_{pk}(y_1 \cdot (j_{\tau_1} + \tau_1)) = Enc_{pk}(y_1 \cdot \tau_1). \end{aligned}$$

可以看到,当 $j=0$ 时,无论 b 取何值, w_2 都是对 0 的加密.根据协议,我们忽略这一项,分别对 w_b, w_{1-b} 和 w_3, w_4 进行处理.对 w_b, w_{1-b} ,由于 $\sigma_\sigma=1, \sigma_{1-\sigma}=0$,所以在对 w_b, w_{1-b} 解密得到的明文中,一个为 0,一个为 x_σ ,其中 x_σ 的位置信息为 $\sigma \oplus b$.具体来说,若 $\sigma=1$,则 $\sigma_1=1, \sigma_0=0$,对 w_b, w_{1-b} 解密可得到 0 和 x_1 (顺序不定, x_1 的位置信息为 $\sigma \oplus b=1 \oplus b$);若 $\sigma=0$,则 $\sigma_0=1, \sigma_1=0$,对 w_b, w_{1-b} 解密可得到 0 和 x_0 (顺序不定, x_0 的位置信息为 $\sigma \oplus b=0 \oplus b$).对 w_3, w_4 ,由于 $\tau_\tau=1, \tau_{1-\tau}=0$,所以在对 w_3, w_4 解密得到的明文中,一个为 y_τ ,一个为 0,其中 y_τ 的位置由 τ 直接确定.

因此,当 $j=0$ 时,协议 1 的输出为 $(x_\sigma, y_\tau, \sigma \oplus b)$,满足正确性要求.

综上所述,有 $\{output^\pi((x_0,x_1,y_0,y_1,b,\sigma),(j,\tau),n)\}_{x_0,x_1,y_0,y_1,b,\sigma,j,\tau,n} \cong \{\mathcal{F}_{ccbot}((x_0,x_1,y_0,y_1,b,\sigma),(j,\tau))\}_{x_0,x_1,y_0,y_1,b,\sigma,j,\tau,n}$

下面我们分别证明等式(1)和等式(2)成立.

情况 1) S 被腐化,证明等式(1)成立.

为了证明 S 被腐化时等式(1)成立,我们需要构造一个模拟器 \mathcal{S}_1 ,给定输入 $(x_0, x_1, y_0, y_1, b, \sigma)$ 和安全参数 1^n ,输出 S 在协议 1 中的视图,并证明该视图和真实协议执行中 S 的视图 $view_1^\pi((x_0, x_1, y_0, y_1, b, \sigma), (j, \tau), n)$ 计算不可区分。

根据协议 1, S 所能看到的视图消息仅为密文 $(Enc_{pk}(j_0), Enc_{pk}(j_{\tau_0+\tau_0}), Enc_{pk}(j_{\tau_1+\tau_1}))$ 。为了模拟该消息,我们令模拟器 \mathcal{S}_1 在明文空间随机选取明文 m_1, m_2, m_3 ,使用 R 的公钥 pk 进行加密,得到密文 $(Enc_{pk}(m_1), Enc_{pk}(m_2), Enc_{pk}(m_3))$ 。这样,给定输入 $(1^n, (x_0, x_1, y_0, y_1, b, \sigma))$,模拟器 \mathcal{S}_1 的输出为

$$(x_0, x_1, y_0, y_1, b, \sigma, r, Enc_{pk}(m_1), Enc_{pk}(m_2), Enc_{pk}(m_3)),$$

其中, r 为协议过程中使用的随机数。

以上即是模拟器 \mathcal{S}_1 的构造。我们接下来证明等式(1)成立,即

$$\{\mathcal{S}_1(1^n, (x_0, x_1, y_0, y_1, b, \sigma))\}_{x_0, x_1, y_0, y_1, b, \sigma, n} \cong \{view_1^\pi((x_0, x_1, y_0, y_1, b, \sigma), (j, \tau), n)\}_{x_0, x_1, y_0, y_1, b, \sigma, j, \tau, n}.$$

由模拟器 \mathcal{S}_1 的构造可知, $\{\mathcal{S}_1(1^n, (x_0, x_1, y_0, y_1, b, \sigma))\} = \{(x_0, x_1, y_0, y_1, b, \sigma, r, Enc_{pk}(m_1), Enc_{pk}(m_2), Enc_{pk}(m_3))\}$ 。

由协议 1 可知, $\{view_1^\pi((x_0, x_1, y_0, y_1, b, \sigma), (j, \tau), n)\} = \{(x_0, x_1, y_0, y_1, b, \sigma, r, Enc_{pk}(j_0), Enc_{pk}(j_{\tau_0+\tau_0}), Enc_{pk}(j_{\tau_1+\tau_1}))\}$ 。

我们利用规约来证明上述两个分布不可区分。假如存在一个非均匀概率多项式时间区分器 D 和一个多项式 $p(\cdot)$, 满足对于无限多 n , 有:

$$|\Pr[D(\mathcal{S}_1(1^n, (x_0, x_1, y_0, y_1, b, \sigma)))=1] - \Pr[D(view_1^\pi((x_0, x_1, y_0, y_1, b, \sigma), (j, \tau), n))=1]| > 1/p(n),$$

则存在一个敌手 \mathcal{A}_M , 满足:

$$|\Pr[\mathcal{A}_M(Enc_{pk}(m_1), Enc_{pk}(m_2), Enc_{pk}(m_3))=1] - \Pr[\mathcal{A}_M(Enc_{pk}(j_0), Enc_{pk}(j_{\tau_0+\tau_0}), Enc_{pk}(j_{\tau_1+\tau_1}))=1]| > 1/p(n).$$

我们知道,如果公钥加密方案 M 满足 CPA 下的不可区分性,则 M 在 CPA 下是不可区分多重加密。因此,若存在敌手 \mathcal{A}_M 能够区分上述两个多重加密消息序列,则其能够攻破加密方案 M , 即 M 不具有 CPA 安全性,这和我们的假设相矛盾。因此,等式(1)成立,协议 1 在参与方 S 被腐化时是安全的。

情况 2) R 被腐化,证明等式(2)成立。

为了证明 R 被腐化时等式(2)成立,我们需要构造一个模拟器 \mathcal{S}_2 ,给定输入 (j, τ, z) 和安全参数 1^n ,输出 R 在协议 1 中的视图,并证明该视图和真实协议执行中 R 的视图 $view_2^\pi((x_0, x_1, y_0, y_1, b, \sigma), (j, \tau), n)$ 计算不可区分。

根据协议 1, R 所能看到的消息为 S 发送的密文五元组 $(w_b, w_{1-b}, w_2, w_3, w_4)$ 。由于 cut-and-choose 指示比特 j 取值不同时,由该密文五元组解密得到的输出结果不同,因此需要分情况进行讨论。

情况(1) 当 $j=1$ 时, R 解密密文得到的结果为 $z = (x_b, x_{1-b}, 1-b, y_0, y_1)$ 。给定 z 的值,模拟器 \mathcal{S}_2 可以直接用 R 的公钥 pk 对 $(x_b, x_{1-b}, 1-b, y_0, y_1)$ 进行加密,得到密文五元组 $(w'_b, w'_{1-b}, w'_2, w'_3, w'_4)$, 作为对真实协议执行中 $(w_b, w_{1-b}, w_2, w_3, w_4)$ 的模拟。

以上即是模拟器 \mathcal{S}_2 在 $j=1$ 时的构造。我们接下来证明在该情况下,等式(2)成立,即

$$\{\mathcal{S}_2(1^n, (j, \tau, z))\}_{j, \tau, z, n} \cong \{view_2^\pi((x_0, x_1, y_0, y_1, b, \sigma), (j, \tau), n)\}_{x_0, x_1, y_0, y_1, b, \sigma, j, \tau, n}.$$

由模拟器 \mathcal{S}_2 的构造可知, $\{\mathcal{S}_2(1^n, (j, \tau, z))\} = \{(j, \tau, r, w'_b, w'_{1-b}, w'_2, w'_3, w'_4)\}$ 。

由协议 1 可知, $\{view_2^\pi((x_0, x_1, y_0, y_1, b, \sigma), (j, \tau), n)\} = \{(j, \tau, r, w_b, w_{1-b}, w_2, w_3, w_4)\}$ 。

由于 R 掌握私钥 sk , 因此 $(w'_b, w'_{1-b}, w'_2, w'_3, w'_4)$ 和 $(w_b, w_{1-b}, w_2, w_3, w_4)$ 在 R 看来都是对 $(x_b, x_{1-b}, 1-b, y_0, y_1)$ 的加密。也就是说,上述两个分布对 R 来说是等同的。因此,等式(2)在 $j=1$ 时成立。

情况(2) 当 $j=0$ 时, R 解密密文得到的结果为 $z = (x_\sigma, y_\tau, \sigma \oplus b)$ 。给定 (j, τ, z) 的值,模拟器 \mathcal{S}_2 可以如下构造 R 的视图:

对 $(w_b, w_{1-b}, w_2, w_3, w_4)$ 中前两个元素 w_b 和 w_{1-b} , \mathcal{S}_2 用 pk 加密 x_σ 作为对其中第 $\sigma \oplus b + 1$ 个元素的模拟,用 pk 加密 0 作为对另一个元素的模拟;对第 3 个元素 w_2 , \mathcal{S}_2 用 pk 加密 0 作为对 w_2 的模拟;对最后两个元素 w_3 和 w_4 , \mathcal{S}_2 用 pk 加密 y_τ 作为对其中第 $\tau + 1$ 个元素的模拟,用 pk 加密 0 作为对另一个元素的模拟。

以上即是模拟器 \mathcal{S}_2 在 $j=0$ 时的构造。在掌握私钥 sk 的 R 看来,上述构造的密文和真实协议执行中接收到的密文 $(w_b, w_{1-b}, w_2, w_3, w_4)$ 具有等同的分布。因此,等式(2)在 $j=0$ 时成立。

这样就完成了 R 被腐化时的证明。协议 1 在参与方 R 被腐化时是安全的。

综上,协议 1 在定义 2 下安全计算功能函数 \mathcal{F}_{cbot} 。 □

3 应用

Cut-and-choose 双向不经意传输在基于 cut-and-choose 技术的密码协议中具有重要意义.本文以安全两方计算为例,对其应用及所带来的优势进行阐述.在详细介绍如何将 cut-and-choose 双向不经意传输应用到安全两方计算之前,首先简单介绍基于 Yao 混乱电路的安全两方计算协议以及 cut-and-choose 范例.

安全两方计算是参与方 P_1 和 P_2 之间的交互式计算任务.双方各自持有自己的秘密输入 x 和 y ,互不信任,交互式地协同计算一个目标函数 $f(\cdot, \cdot)$.任务完成后,双方各自获得相应的秘密输出,整个计算过程不泄露其他任何额外信息.20世纪80年代,姚期智先生提出采用“混乱电路”的方法来实现安全两方计算^[15].混乱电路实际上是对布尔电路的一种加密形式,其拥有如下性质:

(1) 每条电路线对应两个混乱密钥,一个密钥对应比特 0,另一个密钥对应比特 1;

(2) 当每条电路输入线给定一个密钥时,可以逐层计算该混乱电路,并最终获得电路输出值,除此之外得不到其他任何额外信息.

基于混乱电路和不经意传输,文献[15]给出了安全两方计算的第一个通用解决方案——Yao 协议.在该协议中, P_1 和 P_2 分别为混乱电路构造方和混乱电路计算方.双方首先将要计算的函数表示为布尔电路,参与方输入的每一位在布尔电路中都有对应的电路输入线.然后, P_1 独立构造该布尔电路对应的混乱电路,并将该混乱电路以及对应自己输入的密钥发送给 P_2 .对 P_2 输入所对应的每条输入线,双方执行一次不经意传输协议,使 P_2 获取自己输入对应的密钥.具体来说, P_1 作为发送方,输入为该条输入线上的两个密钥; P_2 作为接收方,输入为该条输入线对应的输入比特.协议执行完成后, P_2 获得其输入比特对应的密钥.最后, P_2 使用已获得的所有电路输入线上的密钥,在不知道 P_1 秘密输入和其他额外信息的情况下,茫然地对混乱电路逐层计算,获得电路的输出值.

Yao 协议非常高效,但其仅在半诚实模型下安全.在恶意模型下,潜在的恶意参与方可以任意偏离协议执行,协议构造更加困难,也更低效.一个显然的问题是,恶意的 P_1 可能会构造错误的混乱电路,使 P_2 计算出的函数结果出错.与利用零知识证明强迫潜在的恶意对手诚实地执行协议相比,使用 cut-and-choose 技术可以获得恶意模型下非常高效的安全两方计算协议^[12,16,17].该技术的基本想法是使参与方 P_2 能够以很高的概率发现恶意 P_1 的作弊行为.首先, P_1 被要求构造 s 份混乱电路而不是 1 份(s 为统计学安全参数). P_2 随机选择其中一部分(称为检测电路),要求 P_1 打开,以检测混乱电路是否正确构造;若全部检测通过,则以很高的概率说明剩余混乱电路中的大多数都是正确构造的.随后,双方像 Yao 协议一样计算剩余的每个混乱电路(称为计算电路),并取计算结果中占大多数的值作为协议输出.通过这种方法,恶意构造方作弊成功的概率被限制得非常小.

在所有基于 cut-and-choose 范例的两方计算协议中,文献[12]提供的解决方案较为典型、高效.该协议主要基于 cut-and-choose 不经意传输进行构造.注意到该功能函数仅能用来传输单个混乱电路中单条 P_2 输入线上的密钥.为了使其能够适用于外层的两方计算协议,需要将其扩展为一个可以进行批处理的版本,称为批处理单选择 cut-and-choose 不经意传输,记为 $\mathcal{F}_{cbot}^{B,S}$,以用来传输 s 个混乱电路中所有 P_2 输入线上的密钥.关于 $\mathcal{F}_{cbot}^{B,S}$ 的详细描述可参见文献[12].基于 cut-and-choose 不经意传输,我们可以获得如下的安全两方计算协议框架.

基于 Cut-and-Choose 不经意传输的安全两方计算协议框架.

步骤 1. P_1 构造 s 份混乱电路.

步骤 2. 双方调用批处理单选择 cut-and-choose 不经意传输功能函数 $\mathcal{F}_{cbot}^{B,S}$.对于所有混乱电路中每条 P_2 输入线:在检测电路中, P_2 获得全部两个密钥;在计算电路中, P_2 获得与其输入比特相对应的密钥.

步骤 3. P_1 将所有混乱电路发送给 P_2 .

步骤 4. P_2 公开 $\mathcal{F}_{cbot}^{B,S}$ 中用到的 cut-and-choose 指示比特串 J ,并向 P_1 证明 J 的正确性.

步骤 5. 对每个检测电路, P_1 发送自己每条输入线上的两个密钥.

步骤 6. P_2 对所有检测电路进行检测.若检测出现问题,则 P_2 中止协议;否则继续执行.

步骤 7. 对每个计算电路, P_1 将自己输入对应的密钥发送给 P_2 ,并证明在所有计算电路中, P_1 输入一致.

步骤 8. P_2 对所有计算电路进行计算,并取计算结果中占大多数的值作为协议输出.

可以看出,上述协议框架中的密钥传输被分割成为几个部分,导致参与方之间的交互变得非常复杂,从轮复杂度的角度考虑协议较为低效;同时,复杂的交互使协议框架非常混乱,不利于协议的理解和应用。

为了降低参与方的交互复杂度并简化协议框架,我们将上述协议中的 cut-and-choose 不经意传输替换为新原语 cut-and-choose 双向不经意传输.利用该原语的双向性,可以将所有涉及到的密钥在一个阶段全部传输完成.同样,由于功能函数 \mathcal{F}_{cbot} 仅能用来传输单个混乱电路中单条输入线上的密钥,我们将其扩展为可用于传输 s 个混乱电路中所有输入线密钥的功能函数,称为批处理单选择 cut-and-choose 双向不经意传输,记为 $\mathcal{F}_{cbot}^{B,S}$.基于 cut-and-choose 双向不经意传输,安全两方计算协议框架可以简化为如下过程.

基于 Cut-and-Choose 双向不经意传输的安全两方计算协议框架.

步骤 1. P_1 构造 s 份混乱电路.

步骤 2. 双方调用批处理单选择 cut-and-choose 双向不经意传输功能函数 $\mathcal{F}_{cbot}^{B,S}$. 对于所有混乱电路中的每条输入线:在检测电路中, P_2 获得全部两个密钥;在计算电路中, P_2 获得与参与方输入比特相对应的密钥.

步骤 3. P_1 将所有混乱电路发送给 P_2 .

步骤 4. P_2 对所有检测电路进行检测,检测通过后计算所有计算电路,并取计算结果中占大多数的值作为协议输出.

通过对比该协议框架与基于 cut-and-choose 不经意传输的协议框架,可以看出,将 cut-and-choose 不经意传输替换为 cut-and-choose 双向不经意传输后,协议框架明显得到简化,新框架更清晰、更易于理解;参与方之间的交互轮数明显得到降低.具体来说,原有协议框架中的公开 cut-and-choose 指示比特串(步骤 4)、发送检测电路中 P_1 输入线密钥(步骤 5)以及发送计算电路中 P_1 输入对应密钥(步骤 7)等诸多步骤都被省去.参与方 P_1 仅需在构造完混乱电路后和 P_2 运行一次批处理单选择 cut-and-choose 双向不经意传输协议,然后将所有混乱电路发送给 P_2 即可.剩余阶段不再需要 P_1 参与, P_2 可以本地完成所有检测和计算操作,从而极大地降低了协议的交互复杂度.

4 结束语

本文提出了一种称为 cut-and-choose 双向不经意传输的密码学原语,并基于同态加密给出了仅需 1 轮交互的协议构造.该构造被形式化证明在半诚实模型下满足标准的安全性定义.此外,本文详细阐述了该原语在基于 cut-and-choose 范例的安全两方计算中的应用和优势.在下一步的研究中,我们将重点关注如何构造可抵抗恶意攻击的 cut-and-choose 双向不经意传输协议,使其能够真正应用到基于 cut-and-choose 范例的安全协议中.

References:

- [1] Rabin MO. How to exchange secrets with oblivious transfer. TR-81: Cambridge & Boston, Massachusetts, Aiken Computation Laboratory, Harvard University, 1981.
- [2] Crépeau C. Equivalence between two flavours of oblivious transfers. In: Pomerance C, ed. Advances in Cryptology-CRYPTO'87. Berlin: Springer-Verlag, 1988. 350–354. [doi: 10.1007/3-540-48184-2_30]
- [3] Naor M, Pinkas B. Efficient oblivious transfer protocols. In: Kosaraju SR, ed. Proc. of the 12th Annual ACM-SIAM Symp. on Discrete Algorithms. Philadelphia: Society for Industrial and Applied Mathematics, 2001. 448–457.
- [4] Camenisch J, Neven G, Shelat A. Simulatable adaptive oblivious transfer. In: Naor M, ed. Proc. of the EUROCRYPT 2007. Berlin: Springer-Verlag, 2007. 573–590. [doi: 10.1007/978-3-540-72540-4_33]
- [5] Peikert C, Vaikuntanathan V, Waters B. A framework for efficient and composable oblivious transfer. In: Wagner D, ed. Proc. of the CRYPTO 2008. Berlin: Springer-Verlag, 2008. 554–571. [doi: 10.1007/978-3-540-85174-5_31]
- [6] Guo YB, Zhang ZN, Yang KW. Oblivious transfer based on physical unclonable function system. Journal on Communications, 2013,34(Z1):38–43 (in Chinese with English abstract).
- [7] Garay JA, MacKenzie P, Yang K. Efficient and universally composable committed oblivious transfer and applications. In: Naor M, ed. Proc. of the TCC 2004. Berlin: Springer-Verlag, 2004. 297–316. [doi: 10.1007/978-3-540-24638-1_17]
- [8] Kiraz MS, Schoenmakers B, Villegas J. Efficient committed oblivious transfer of bit strings. In: Garay JA, Lenstra AK, Mambo M,

- Peralta R, eds. Proc. of the ISC 2007. Berlin: Springer-Verlag, 2007. 130–144. [doi: 10.1007/978-3-540-75496-1_9]
- [9] Ishai Y, Kilian J, Nissim K, Petrank E. Extending oblivious transfers efficiently. In: Boneh D, ed. Proc. of the CRYPTO 2003. Berlin: Springer-Verlag, 2003. 145–161. [doi: 10.1007/978-3-540-45146-4_9]
- [10] Nielsen JB, Nordholt PS, Orlandi C, Burra SS. A new approach to practical active-secure two-party computation. In: Safavi-Naini R, Canetti R, eds. Proc. of the CRYPTO 2012. Berlin: Springer-Verlag, 2012. 681–700. [doi: 10.1007/978-3-642-32009-5_40]
- [11] Asharov G, Lindell Y, Schneider T, Zohner M. More efficient oblivious transfer and extensions for faster secure computation. In: Sadeghi AR, ed. Proc. of the 20th ACM Conference on Computer and Communications Security. New York: ACM, 2013. 535–548. [doi: 10.1145/2508859.2516738]
- [12] Lindell Y, Pinkas B. Secure two-party computation via cut-and-choose oblivious transfer. In: Ishai Y, ed. Proc. of the TCC 2011. Berlin: Springer-Verlag, 2011. 329–346. [doi: 10.1007/978-3-642-19571-6_20]
- [13] Kiraz MS, Schoenmakers B. A protocol issue for the malicious case of Yao's garbled circuit construction. In: Legendijk RL, Weber JH, eds. Proc. of the 27th Symp. on Information Theory in the Benelux. Eindhoven: Werkgemeenschap voor Informatie-en Communicatietheorie, 2006. 283–290.
- [14] Goldreich O. Foundations of Cryptography: Volume II, Basic Applications. New York: Cambridge University Press, 2004. [doi: 10.1017/CBO9780511721656]
- [15] Yao ACC. How to generate and exchange secrets. In: Hopcroft J, ed. Proc. of the 27th Annual IEEE Symp. on Foundations of Computer Science. Washington: IEEE Computer Society, 1986. 162–167. [doi: 10.1109/SFCS.1986.25]
- [16] Lindell Y, Pinkas B. An efficient protocol for secure two-party computation in the presence of malicious adversaries. In: Naor M, ed. Proc. of the EUROCRYPT 2007. Berlin: Springer-Verlag, 2007. 52–78. [doi: 10.1007/978-3-540-72540-4_4]
- [17] Lindell Y. Fast cut-and-choose based protocols for malicious and covert adversaries. In: Canetti R, Garay JA, eds. Proc. of the CRYPTO 2013. Berlin: Springer-Verlag, 2013. 1–17. [doi: 10.1007/978-3-642-40084-1_1]

附中文参考文献:

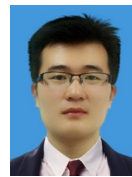
- [6] 郭渊博,张紫楠,杨奎武.基于 PUFs 的不经意传输协议.通信学报,2013,34(Z1):38–43.



赵川(1989—),男,山东泰安人,博士,讲师,主要研究领域为安全多方计算,云计算安全.



蒋瀚(1974—),男,博士,讲师,主要研究领域为密码学与信息安全,公钥密码学,安全多方计算.



魏晓超(1990—),男,博士生,主要研究领域为实用安全多方计算,安全外包计算.



徐秋亮(1960—),男,博士,教授,博士生导师,主要研究领域为公钥密码算法设计与分析,密码协议设计与分析,多方安全计算协议研究,网络信息安全核心技术与开发.